

ارزیابی متغیرهای استخراج بر خواص ژلی آگار جلبک پرورشی

(RSM) با روش سطح پاسخ *Gracilariopsis persica*

محمد رضا انتصاریان بیدگلی^۱، مسعود رضایی^{*}^۱، علی معتمدزادگان^۲، عبدالرسول دریایی^۳

* Rezai_ma@modares.ac.ir

- ۱- گروه فرآوری محصولات شیلاتی، دانشکده علوم دریائی، دانشگاه تربیت مدرس، نور
- ۲- گروه صنایع غذایی، دانشکده علوم زراعی، دانشگاه علوم کشاورزی و منابع طبیعی ساری
- ۳- دانشگاه آزاد اسلامی واحد بندرعباس

تاریخ پذیرش: مرداد ۱۳۹۴

تاریخ دریافت: خرداد ۱۳۹۲

چکیده

در پژوهش حاضر با استفاده از روش سطح پاسخ^۱ (RSM) روند خواص ژلی ویسکوزیته و دمای هیسترزیس ژل آگار از آگاروفیت پرورشی *Gracilariopsis persica* و بهینه‌سازی مدل آن مطالعه شد. بر اساس نتایج حاصل از تأثیر سه متغیر مستقل غلظت قلیا (۲-۸ W/V%), دمای استخراج (۹۰-۱۲۰°C) و زمان استخراج (۴۵-۲۴۰ دقیقه) در پنج سطح بر ویسکوزیته و دمای هیسترزیس، مشخص شد که دما و زمان استخراج از جمله پارامترهای معنادار فرآیند بر ویسکوزیته و دمای هیسترزیس بودند ($p < 0.05$). مدل چند جمله‌ای و شرایط بهینه برای بیشترین مقدار ویسکوزیته و دمای هیسترزیس، برای متغیرهای غلظت قلیا، دما و زمان استخراج به ترتیب مقادیر $3/2\%$ ، 110°C و 200 دقیقه به دست آمد. مقدار پیشنهادی مدل برای ویسکوزیته و دمای هیسترزیس ژل به ترتیب $24/7 \text{ cP}$ و 24°C به دست آمد که در تطابق با داده‌های پیشنهادی مدل، رضایت بخش بودند. ($p > 0.05$).

لغات کلیدی: آگار، ویسکوزیته، دمای هیسترزیس، روش RSM، *Gracilariopsis persica*

^{*}نویسنده مسئول

^۱ Response Surface Methodology

مقدمه

بالایی برخوردار است (Soriano & Bourret, 2003) (Marinho) که در این میان رویه سطح پاسخ (RSM) یکی از روش‌های متداول برای امر بهینه سازی است. با وجود مطالعات محققان در این زمینه، تاکنون گزارشی در این مورد از آگاروفیت *Gp. persica* منتشر نشده است. ضمن این که، آگاروفیت مذکور حاوی مزایایی چون بومی بودن می‌باشد. بدیهی است با توجه به وجود این منبع پرورشی در کشور و پتانسیل تولید فیکوکلوبید *Gp. persica*، در این مطالعه از جلبک پرورشی *Gp. persica* استفاده گردید. بنابراین هدف از تحقیق حاضر، ارزیابی متغیرهای استخراج (غلظت قلیا، دمای استخراج و زمان استخراج) بر خواص ژلی ویسکوزیته و دمای هیسترزیس ژل آگار استحصالی از آگاروفیت *Gp. persica* با به کارگیری روش سطح پاسخ (روش RSM) می‌باشد، چرا که روشی مناسب برای دست‌یابی به شرایط بهینه فرآورده‌های با کیفیت همراه با کاهش هزینه‌ها و افزایش دقت می‌باشد.

مواد و روش‌ها

تهییه آگاروفیت *Gp. persica* و آماده‌سازی نمونه جلبک‌های پرورشی *Gp. persica* از سایتهاي پرورشی واقع در مرکز تکثیر و پرورش توسعه آبیان بندر کلاهی واقع در استان هرمزگان با حمایت سازمان شیلات مهیا گردیدند. به منظور حذف ناخالصی با آب شست و شو داده شدند، سپس به منظور جلوگیری از هیدرولیز آنزیمی و رشد میکروارگانیسم‌ها در فرمالین ۱۰ درصد غوطه‌ور گردیدند. پس از عملیات شست و شوی مجدد، نمونه‌ها برای مدت زمان ۸ ساعت در آون 60°C قرار گرفتند. در پایان نمونه‌ها را پودر نموده (اندازه سایز ۲۵۰-۳۰۰ میکرومتر) و به منظور جلوگیری از در معرض قرار گرفتن رطوبت محیط، در کیسه‌های پلی‌اتیلن زیپ‌دار بسته‌بندی و در دمای 4°C نگهداری شدند (Freil-Pelegrin & Freil-Pelegrin et al., 2007 ; Murano, 2005). (Pereira-Pacheco et al., 2007

پرسه استخراج آگار

استخراج فیکوکلوبید آگار با اندکی تغییر در پارامترهای پیش‌فرآوری و استخراج به روش (Freil-Pelegrin &

آگار پلی ساکارید ژله‌ای است که در آب و یا محلول قلیا از دیواره سلولی برخی جلبک‌های قرمز به دست می‌آید. این فیکوکلوبید که در آب سرد نامحلول و در آب جوش محلول است به دلیل اختلاف موجود بین دمای ژله‌ای و دمای ذوب آن، که اصطلاحاً دمای هیسترزیس گفته می‌شود، کاربردهای بسیار زیادی در صنایع مختلف از جمله صنعت غذا (٪۸۰) و بیوتکنولوژی (٪۲۰) پیدا کرده است (Kumar & Fotedar, 2009) هیدروکلوبیدها قادرند محلول‌هایی با ویسکوزیته بالا در غلظت‌های پایین تولید کنند که این امر بر کاربری آن‌ها افزوده است (Foegeding, 2007). در واقع از آگار به منظور تغليظ نمودن، ثبیت کردن، افزایش ویسکوزیته، بهبود قابلیت برش در فرآورده‌های کنسروی (گوشتی و ماهی) و همچنین به عنوان کلوبیدی محافظ در فرآورده‌های گوشتی (به ویژه ماهی) استفاده می‌کنند (Armisen, 1995; Venugopal, 2009).

کاربردهای آگار اساساً مبنی بر خواص ژلی چون استحکام ژل، هیسترزیس بالا و برگشت‌پذیری کامل ژل-می‌باشد که خواص منحصر به فردی از طریق ساختار ژله‌ای خاص ایجاد می‌کند. بنابراین ویسکوزیته، دمای تشکیل ژل، نقطه ذوب و همچنین دمای هیسترزیس، جز خواص ژلی مهم و پارامترهای موثر در کیفیت آگار محسوب می‌شوند (Pereira-Pacheco et al., 2007). آگاروفیت‌های مختلفی برای استخراج آگار وجود دارد، اما پژوهش‌ها نشان می‌دهد جلبک‌های گراسیلاریا از جمله گونه‌های مهم در این صنعت در سراسر جهان می‌باشند که بر اساس مطالعات استفاده از این آگاروفیت به عنوان ماده خام آگار از ۶۳٪ در سال ۱۹۹۹ به ۸۰٪ در سال ۲۰۰۹ رسیده است (Vergara-Rodarte et al., 2011). که در این میان گزارش‌های مختلفی نیز از تاثیر متغیرهای مختلف بر استخراج آگار و بررسی خواص ژلی آن گزارش شده است (Arvizu-Higuera et al., 2007; Pereira-Pacheco et al., 2007; 2008). بنابراین استنباط می‌شود متغیرهای مختلفی در پرسه استخراج بر کیفیت آگار استحصالی موثر می‌باشد، لذا بهینه سازی آن‌ها برای رسیدن به مطلوب‌ترین نتیجه، از اهمیت بسیار

تعیین دمای هیسترزیس ژل

دمای هیسترزیس بر اساس اختلاف موجود بین دمای تشکیل ژل آگار و نقطه ذوب آن محاسبه می‌گردد، لذا برای تعیین این پارامترها از روش - & Pelegrín (Freile Robledo, 1997b) با اندکی اصلاح پیروی شد. در ابتدا محلول (W/V) ۱/۵ آگار در ۱۰ میلی لیتر آب مقطر داغ تهیه شد. سپس فوراً به لوله‌های آزمایش درب-دار (ارتفاع ۱۲ سانتی‌متر و قطر ۱۵ میلی‌متر) انتقال داده شدند. ضمناً یک ترموموکوپل متصل به دیتا لاگری نیز درون لوله تعییه گردید. گویی پلاستیکی (وزن ۶ میلی‌گرم، قطر ۱۰ میلی‌متر) درون لوله رها شد. لوله حاوی ژل به صورت افقی و عمودی درون حمام آبی با دمای 25°C در حرکت بود که لحظه توقف گویی توسط دیتا لاگر متصل به رایانه به عنوان دمای تشکیل ژل ثبت می‌شد.

سپس برای تعیین نقطه ذوب نیز، محلول آگار (W/V) ۱/۵ در ۱۰ میلی لیتر آب مقطر تهیه و در لوله‌های آزمایش (ارتفاع ۱۰ سانتی‌متر و قطر ۱۵ میلی‌متر) جاری شد. پس از رسیدگی ژل به مدت ۱۲ ساعت در دمای محیط ($25 \pm 1^{\circ}\text{C}$)، یک گویی (وزن ۲۰ میلی‌گرم، قطر ۷ میلی‌متر) بر روی سطح ژل قرار داده و لوله‌های حاوی ژل نیز به حمام روغن انتقال داده شدند. همزمان با افزایش دمای حمام بن ماری از 50°C تا 120°C با کمک یک ترمومتر دیجیتالی دقیق، در دمایی که این گویی به کف لوله آزمایش سقوط کرد به عنوان نقطه ذوب گزارش گردید.

(Murano, 2005) صورت پذیرفت. برای هر تیمار از ۱۰ گرم پودر جلبکی استفاده شد. به منظور هیدرولیز گروه-های سولفات و استخراج بهتر پلی‌ساقارید از دیواره سلولی جلبک، فرآیند پیش‌فرآوری قلیایی به مدت ۱۲ ساعت در ۲۰۰ میلی‌لیتر محلول NaOH در پنج نقطه از غلظت‌های سدیم هیدروکسید (۲، $\frac{3}{2}$ ، ۵، $\frac{6}{8}$ و ۸ درصد حجمی/جرمی) در دمای محیط انجام گرفت و سپس در حمام آب 90°C برای مدت زمان ۳ ساعت حرارت داده شد. پس از شست و شوی نهایی، عملیات استخراج آگار از جلبک‌های پیش‌تیمار یافته، در ۳۰۰ میلی‌لیتر بافر فسفات ۱/۱ مولار با pH برابر با $6/2$ در محدوده‌های دمایی (90°C , 96°C , 114°C , 105°C و 120°C) و زمانی (۴۵، ۸۵، ۱۴۲ و ۲۴۰ دقیقه) در حمام روغن صورت پذیرفت. پس از تخلیص در مدت ۱۲ ساعت در دمای 18°C منجمد گردید. پس از دیفاراست در دمای محیط، ناخالصی‌های محلول تخلیه شدند. سپس با دستگاه آون در دمای 60°C برای مدت زمان ۲۴ ساعت خشک گردیدند. به منظور مقایسه با نمونه‌های تیمار یافته، استخراج آگار بومی به روش سنتی (بدون پیش‌فرآوری) نیز صورت گرفت، که جلبک‌ها (۱۰ گرم) برای ۱۲ ساعت در ۲۰۰ میلی‌لیتر آب مقطر در دمای محیط آبگیری شدند. سپس استخراج برای ۹۰ دقیقه در دمای 90°C در ۳۰۰ میلی‌لیتر بافر فسفات ۱/۱ مولار با pH برابر با $6/2$ در حمام آبی صورت گرفت.

اندازه‌گیری ویسکوزیته

ویسکوزیته آگار با استفاده از دستگاه ویسکومتر بروکفیلد با اندکی تغییر از روش (Prasad *et al.*, 2007) سنجش شد. برای این منظور محلول ۱/۵٪ آگار تهیه و میزان ویسکوزیته آن بر حسب واحد سانتی‌پوآز^۲ با اسپیندل^۳ (S31) ویسکومتر، با میزان ۱۰۰ دور در دقیقه^۴ در دمای 80°C تعیین شد.

^۲ cP
^۳ Spindle
^۴ RPM

جدول ۱: محدوده و سطوح آزمایشی متغیرهای مستقل در طرح مرکب مرکزی ($\alpha = \pm 1/682$)

آزمایشات					محدوده	علامت	متغیرهای مستقل
$+a$	$+1$	$+$	-1	$-a$			
۸	۶/۸	۵	۳/۲	۲	۲-۸	x_1	غلظت قلیا (درصد)
۱۲۰	۱۱۴	۱۰۵	۹۶	۹۰	۹۰-۱۲۰	x_2	دما (سانتیگراد)
۲۴۰	۲۰۰	۱۴۲	۸۵	۴۵	۴۵-۲۴۰	x_3	زمان (دقیقه)

جدول ۲: کد گذاری متغیرهای مستقل و مقادیر واقعی و پیش بینی مدل ویسکوزیته و دمای هیسترزیس

دما (سانتیگراد)		ویسکوزیته (سانتیپوآز)		کد متغیرهای مستقل		
Y_2	Y_1	Y_2	Y_1	x_3	x_2	x_1
۶۰/۸۳	۶۱/۳	۲۲/۴۳	۲۴/۸	.	.	.
۶۰/۸۳	۶۰/۲	۲۲/۴۳	۲۶/۶	.	.	.
۶۰/۸۳	۵۹/۵۵	۲۲/۴۳	۲۰/۲	.	.	.
۶۰/۸۳	۶۲/۸	۲۲/۴۳	۲۵/۱	.	.	.
۶۰/۸۳	۶۲/۷	۲۲/۴۳	۲۲/۶	.	.	.
۶۰/۸۳	۵۸/۲	۲۲/۴۳	۲۱/۳	.	.	.
۶۱/۱۲	۶۰/۲	۹/۶	۹/۶	-1	-1	-1
۵۶/۲۳	۵۵/۹	۱۶/۸۲	۱۶	-1	-1	1
۵۹/۳۴	۵۹/۹	۱۱/۹۵	۱۱/۱	-1	1	-1
۶۲/۳۵	۶۲/۴	۱۹/۱۷	۱۸/۸	-1	1	1
۶۶/۴۱	۶۶/۳	۱۵/۷۱	۱۷/۲	1	-1	-1
۶۱/۵۳	۶۲/۲	۱۱/۲۳	۱۱/۲	1	-1	1
۶۴/۶۳	۶۴/۶	۲۳/۲۶	۲۳/۲	1	1	-1
۶۷/۶۵	۶۹/۵	۱۸/۷۸	۱۹/۹	1	1	1
۶۱/۶۲	۶۱/۸	۱۹/۸۸	۱۹/۶	.	.	-1/682
۶۰/۰۵	۵۸/۶	۲۲/۱۸	۲۲/۳	.	.	1/682
۵۸/۰۸	۵۸/۷	۷/۴۲	۷/۱	.	-1/682	.
۶۱/۷۳	۶۰/۵	۱۵/۷۵	۱۵/۹	.	1/682	.
۶۱/۷۶	۶۲/۳۵	۱۳/۷۳	۱۵	-1/682	.	.
۷۰/۶۶	۶۹/۴۵	۱۸/۵۴	۱۷/۱	1/682	.	2.

 x_1 : غلظت قلیا (درصد)، x_2 : دمای استخراج (سانتیگراد)، x_3 : زمان استخراج (دقیقه) Y_1 : مقدار واقعی، Y_2 : پیش بینی مدل

(۱)، دمای استخراج (۲) و زمان استخراج (۳) بر میزان هیسترزیس آگار استحصالی از روش سطح پاسخ تحت طرح مرکب مرکزی^۵ (CCRD) استفاده گردید. در این روش با انجام ۶ تکرار در نقاط مرکزی به منظور تخمین خطای آزمایش، تکرار تمامی نقاط آزمایش ضروری نمی‌باشد. بنابراین مجموعاً ۲۰ آزمایش برای ۳

^۵ Central composite rotatable design

تجزیه تحلیل آماری و بهینه سازی روش سطح پاسخ شامل تکنیک‌های ریاضی و آماری می-باشد که در پیشرفت رابطه تابعی مناسب بین پاسخ و پارامترهای فرآیند استفاده می‌شود. بنابراین این روش برای توسعه، بهبود و بهینه‌سازی پروسه عملی و مفید می-باشد (Myers & Montgomery, 2002; Mukhopadhyay & Khuri, 2010) نیز جهت بررسی اثر متغیرهای مستقل شامل غلظت قلیا

های x_1x_3 x_2^2 و x_3^2 از معناداری برخوردار بودند ($p < 0.05$).

برای دمای هیسترزیس نیز بر اساس نتایج حاصل از آنالیز واریانس (جدول ۵) مقدار F -value و p -value به ترتیب کمتر از 0.0001 و $13/56$ برای مدل رگرسیون محاسبه گردید. برای عدم برازش دمای هیسترزیس مقادیر F -value و p -value نیز به ترتیب 0.9219 و 0.033 به دست آمد.

از بین تمامی مولفه‌های ورودی برای دمای هیسترزیس (جدول ۶)، مولفه‌های خطی x_1 و x_2 معنادار بوده و از بین مولفه‌های همزمان و درجه دوم به ترتیب مولفه‌های x_1x_2 و x_3^2 از معناداری برخوردار بودند ($p < 0.05$). شایان ذکر است به جهت بهبود مدل، فقط برخی مولفه‌هایی که معنادار نبودنده، از آنالیزهای بعدی حذف شدند و سایر مولفه‌ها جهت تعیین مدل مورد آنالیز قرار گرفتند.

ضریب تبیین R^2 برای ویسکوزیته و دمای هیسترزیس به ترتیب 0.9299 و 0.8622 به دست آمد. ضرایب تبیین تطابق یافته و پیش بینی شده نیز برای هر دو متغیر مذکور محاسبه شدند که در جدول ۵ آمده است. مقدار PRESS که معیاری از میزان تناسب یک مدل در هر یک از نقاط بوده به ترتیب برای ویسکوزیته و دمای هیسترزیس برابر با $93/21$ و $68/84$ محاسبه گردید. مقدار Adequate precision که برای ویسکوزیته $12/626$ و برای دمای هیسترزیس $15/470$ به دست آمد (جدول ۷).

به منظور فهم هر چه بیشتر عملکرد آزمایش‌ها و ارزیابی ویسکوزیته و دمای هیسترزیس ژل آگار، چهار گراف بسیار مفید در ذیل آمده است (شکل ۱). در واقع پس از دست‌یابی به مدل مورد نظر، مقادیر پیش‌بینی از محاسبه رابطه رگرسیون حاصل می‌گردد و مقادیر باقیمانده^۸ از اختلاف مقدار واقعی و مقدار پیش‌بینی شده حاصل می‌شود. شکل ۱-الف، ب مقدار مانده واقعی در برابر مقدار پیش‌بینی شده در مدل را نشان می‌دهد. در شکل ۱-ج، د می‌توان دریافت که هیچ Outlier وجود

متغیر در ۵ سطح طرح ریزی گردید که سطوح متغیرهای مستقل در جدول ۱ و تیمارهای آزمایش در جدول ۲ ذکر شده است.

برای طراحی آزمایش، آنالیز نتایج و بهینه سازی از نرم افزار دیزاین اکسپرت^۹ استفاده گردید. در این روش مدل سازی بین متغیر وابسته (Y) و متغیرهای مستقل (X) با معادله چند جمله‌ای ذیل بیان می‌گردد:

$$Y = \beta_{0+} + \sum_{i=1}^k \beta_i x_i + \sum_{1 \leq i \leq j}^k \beta_{ij} x_i x_j + \varepsilon$$

Y نشان دهنده مقدار پاسخ پیش‌بینی شده (متغیرهای وابسته)، K نمایانگر تعداد متغیرها، x_i ، x_j ، ..., x_k متغیرهای مستقل، x_i^2 ، x_j^2 ، ..., x_k^2 اثرات محدود متغیرها β_{0+} اثرات کنش متقابل بین متغیرها، β_i اثرات خطی مقدار عرض از مبدأ، β_{ii} (i = 1, 2, ..., k) اثرات محدود بین متغیرها، β_{ij} (i = 1, 2, ..., k; j = 1, 2, ..., k) اثرات متقابل بین متغیرها و ε خطای احتمالی است (Bezerra et al., 2008).

نتایج

مطابق با نتایج برآورده شده از آنالیز واریانس (جدول ۳) مقدار F -value و p -value برای ویسکوزیته آگار به ترتیب کمتر از 0.0001 و $18/25$ برای مدل رگرسیون به دست آمد. مقادیر F -value و p -value برای عدم برازش^۷ دمای ویسکوزیته نیز به ترتیب 0.9420 و 0.024 برآورده شد.

فاکتورهای ممکن جهت حضور در فرآیند مدل‌سازی بر اساس p -value آن‌ها بررسی شد. نتایج آنالیز واریانس (جدول ۴) نشان می‌دهد که برای ویسکوزیته از بین مولفه‌های خطی x_2 و x_3 معنادار بوده در صورتی که در بین مولفه‌های همزمان و درجه دوم به ترتیب فقط مولفه-

Dean & Voss, 1999) باشد (بیشتر از حد مجاز (خط افقی) ندارد. در واقع مشاهده‌ای است که خیلی بزرگ‌تر

Outlier یا کوچک‌تر از مقادیر مورد انتظار باشد و باقیمانده آن

جدول ۳: نتایج حاصل از آزمون آنالیز واریانس ویسکوزیته

p-value	F-value	درجه آزادی	مربع میانگین	جمع مربعات	منبع تغییرات
0.0001>	18/25	8	65/20	521/57	مدل رگرسیون
		11	3/57	39/39	باقیمانده
0.9420	0/24	6	1/49	8/92	عدم برآش
		5	6/07	30/37	خطای خالص
		19	-	560/86	Corr total

جدول ۴: آنالیز آماری فاکتورهای دخیل در مدل ویسکوزیته

خطای استاندارد	p-value	F-value	درجه آزادی	ضریب برآورد	فاکتور
0.51	0.2932	1/79	1	0.68	x_1
0.51	0.0244	6/48	1	2/47	x_2
0.51	0.0001>	38/49	1	1/43	x_3
0.67	0.0036	12/56	1	-2/92	x_1x_3
0.67	0.0036	12/56	1	1/30	x_2x_3
0.50	0.4434	0/63	1	-0/85	x_1^2
0.50	0.4434	0/63	1	-4/19	x_2^2
0.50	0.0005	21/16	1	-2/58	x_3^2

x_1 : غلط قلیا (درصد)، x_2 : دمای استخراج (سانتیگراد)، x_3 : زمان استخراج (دقیقه)

جدول ۵: نتایج حاصل از آزمون آنالیز واریانس دمای هیسترزیس

p-value	F-value	درجه آزادی	مربع میانگین	جمع مربعات	منبع تغییرات
0.0001>	13/56	6	33/69	202/15	مدل رگرسیون
		13	2/48	32/30	باقیمانده
0.9219	0.33	8	1/39	11/11	عدم برآش
		5	4/24	21/19	خطای خالص
		19	-	224/46	Corr total

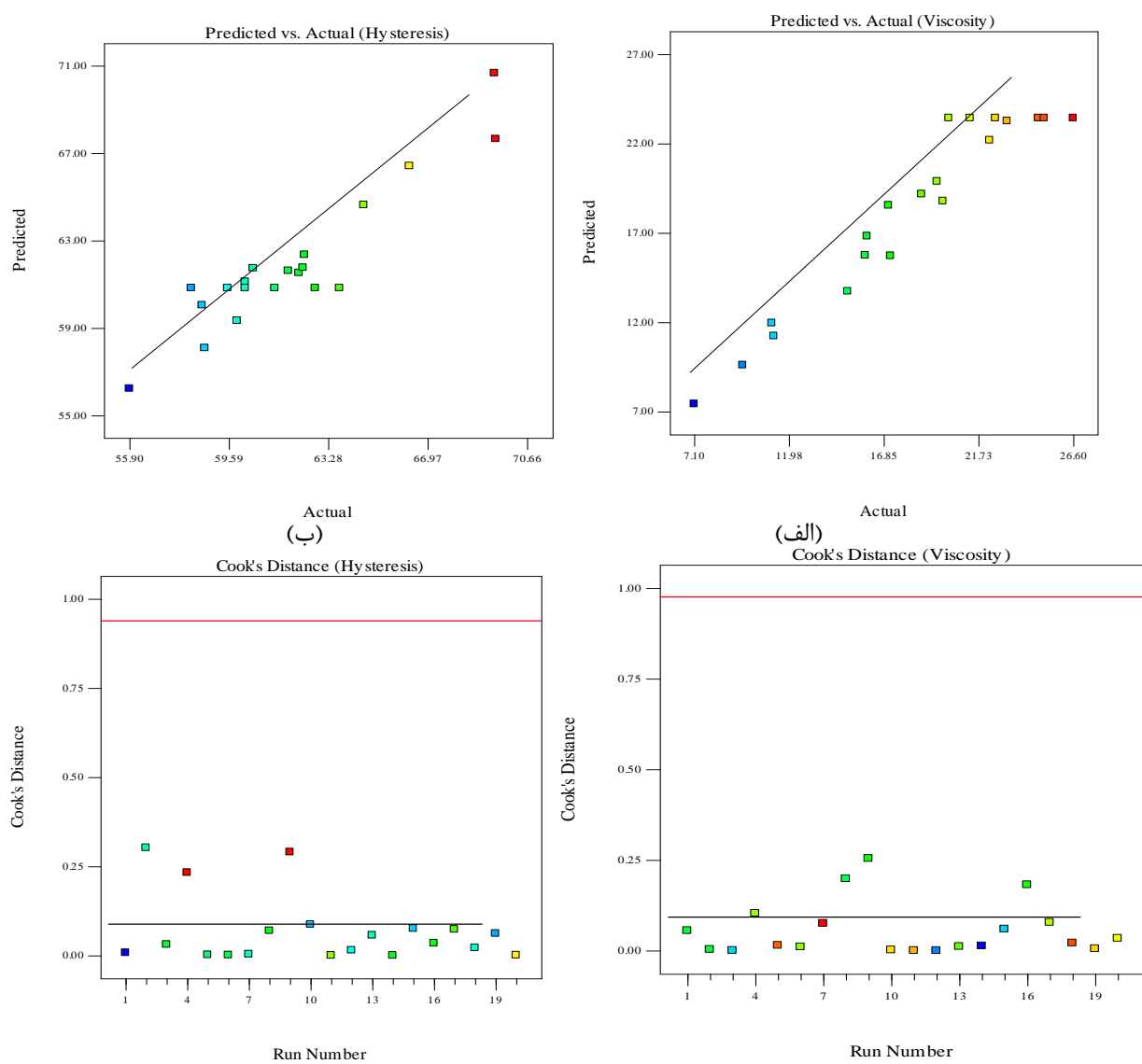
جدول 6: آنالیز آماری فاکتورهای دخیل در مدل هیسترزیس

خطای استاندارد	p-value	F-value	درجه آزادی	ضریب برآورد	فاکتور
0.43	0.2932	1/20	1	-0/47	x_1
0.43	0.0244	6/48	1	1/09	x_2
0.43	0.0001>	38/49	1	2/65	x_3
0.56	0.0036	12/56	1	1/98	x_1x_2
0.41	0.4434	0/63	1	-0/33	x_2^2
0.41	0.0005	21/16	1	1/90	x_3^2

x_1 : غلط قلیا (درصد)، x_2 : دمای استخراج (سانتیگراد)، x_3 : زمان استخراج (دقیقه)

جدول ۷: مقادیر ضرایب تبین و سایر ضرایب برای ویسکوزیته و دمای هیسترزیس

ضرایب	ویسکوزیته	هیسترزیس	ضرایب	ویسکوزیته	هیسترزیس
R-Squared	.9299	.8622	Std. Dev.	1/۸۹	۱/۵۸
Adj R-Squared	.8790	.7986	Mean	۱۸/۲۳	۶۱/۹۱
Pred R-Squared	.8338	.7064	C.V	۱۰/۳۷	۲/۵۵
Adeq Precision	۱۲/۶۲۶	۱۵/۴۷۰	PRESS	۹۳/۲۱	۶۸/۸۴



شکل ۱: پلات‌های Residual مدل‌های ویسکوزیته و دمای هیسترزیس ژل آگار، مقادیر واقعی بر حسب پیش‌بینی‌ها: (الف) ویسکوزیته، (ب) دمای هیسترزیس، فاصله Cook بر حسب آزمایش‌ها: (ج) ویسکوزیته، (د) دمای هیسترزیس

وجود پیش فرآوری این پارامتر بسیار افزایش یافت و در محدوده $cP_{26/6-7/1}$ قرار داشت.

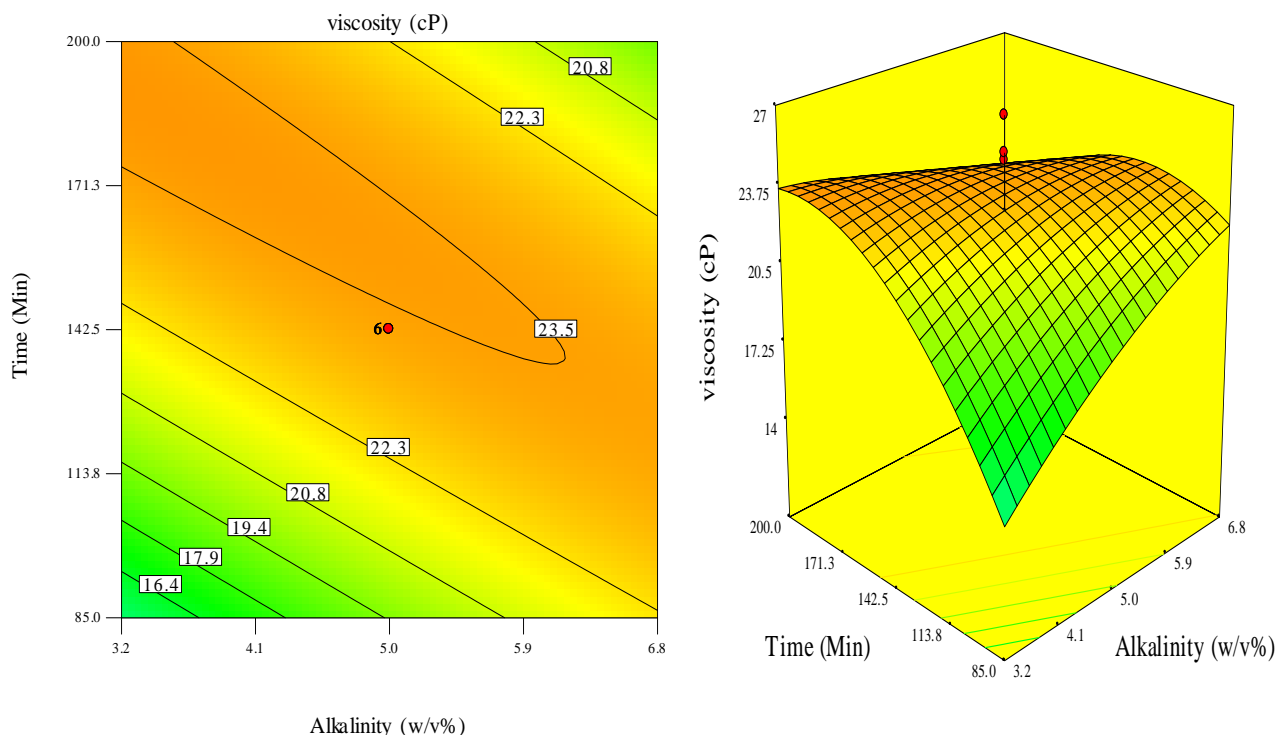
در بین اثرات متقابل متغیرهای ورودی، اثر همزمان، غلظت قلیا و زمان استخراج معنادار بوده‌اند که نمودارهای ذیل (شکل ۲) نمایان‌گر این همزمانی می‌باشند. به گونه‌ای که همزمان با افزایش غلظت قلیا و زمان استخراج، ویسکوزیته محلول افزایش می‌یابد، بنابراین اثر مثبت بر همکنش این دو متغیر مفروض می‌شود. بر اساس گراف‌ها، بیشترین مقدار ویسکوزیته در نقاط میانی طرح آزمایشات بوده و بعد از این نقاط، با افزایش این همزمانی، یک شیب نزولی ویسکوزیته ایجاد می‌گردد.

در پایان پس از بررسی خصوصیات آماری مدل انتخاب شده، تجزیه و تحلیل رگرسیون چند گانه صورت پذیرفت و مدل ریاضی چند جمله‌ای^۹ برای ویسکوزیته (Y_1) و دمای هیسترزیس (Y_2) البته با مقادیر کد شده به صورت ذیل به دست آمد:

$$Y_1 = \frac{23}{43} + \frac{0.68}{43} x_1 + \frac{2.47}{43} x_2 + \frac{1.43}{43} x_3 - \frac{0.85}{43} x_1^2 - \frac{4.19}{43} x_2^2 - \frac{2.58}{43} x_3^2$$

$$Y_2 = \frac{60}{83} - \frac{0.47}{83} x_1 + \frac{1.09}{83} x_2 + \frac{2.65}{83} x_3 + \frac{1.98}{83} x_1 x_2 - \frac{0.33}{83} x_2^2 + \frac{1.90}{83} x_3^2$$

با انجام طرح آزمایشات، ویسکوزیته آگار برای نمونه بومی (بدون پیش فرآوری) $cP_{4\pm0/72}$ به دست آمد، اما با

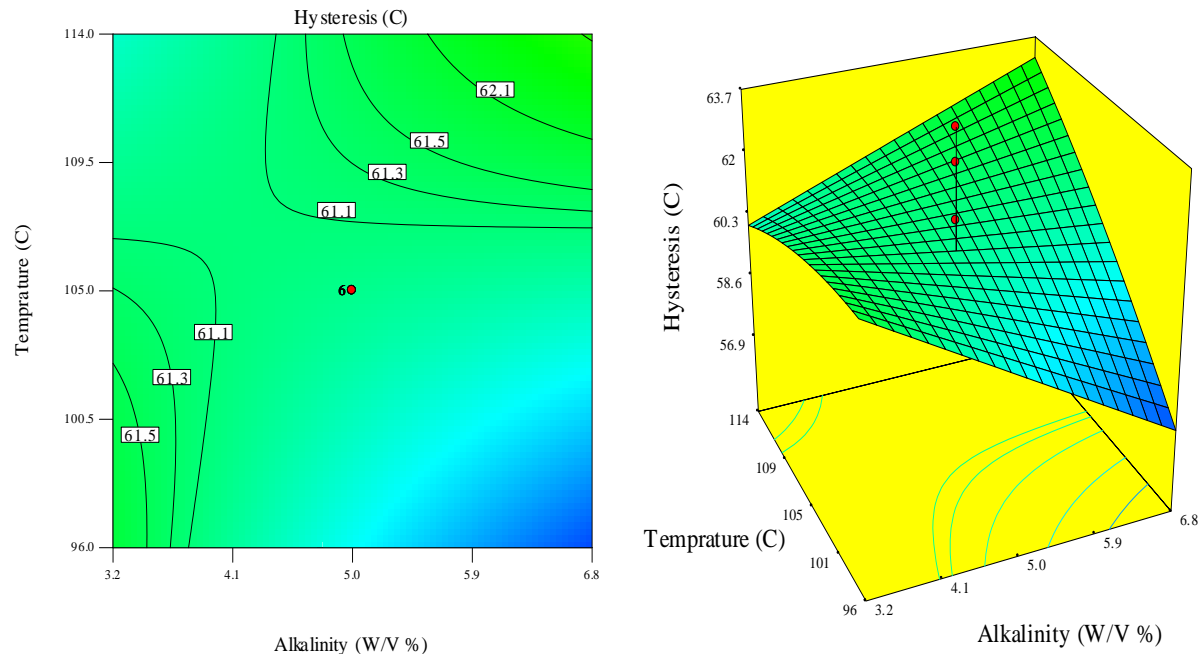


شکل ۲: نمودار کانتور و سه بعدی اثرات همزمان غلظت قلیا و زمان استخراج بر ویسکوزیته آگار

می دهند، به نحوی که همزمان با افزایش دما و غلظت قلیا این پاسخ کاهش می یابد، اما پس از دمای 108°C با ادامه این روند، هیسترزیس ژل آگار سیر نزولی پیدا می کند.

دمای هیسترزیس ژل آگار از نمونه بومی (بدون پیش فرآوری) $59/5 \pm 12^{\circ}\text{C}$ به دست آمد، اما با وجود پیش فرآوری این پارامتر بسیار افزایش یافت و در محدوده $55/9 - 69/5^{\circ}\text{C}$ قرار داشت.

اشکال کانتور و سه بعدی (شکل ۳) اثرات همزمان دما و غلظت قلیا را بر روند دمای هیسترزیس ژل آگار نشان



شکل ۳: نمودار کانتور و سه بعدی اثرات همزمان غلظت قلیا و دمای استخراج بر دمای هیسترزیس ژل آگار

را به اثبات رساند. از طرفی هر چه تفاوت بین مقادیر واقعی و پیش بینی مدل کمتر باشد، تناسب مدل برای پیش بینی بهتر می باشد. همانگونه که در شکل ۱ و همچنین جدول ۲ ارائه شده است، همگنی مقادیر واقعی بر حسب مقادیر پیش بینی برای ویسکوزیته و دمای هیسترزیس مشهود است و اختلاف مقادیر بسیار ناچیز می باشد.

بر اساس نتایج، آگار استحصالی با شرایط تیمار یافته، ویسکوزیته بهتری را نسبت به نمونه بودن پیش فرآوری از خود نشان داده است. محدوده ویسکوزیته آگار در طرح آزمایشات نسبت به ویسکوزیته نمونه بودن پیش فرآوری بسیار متغیر بودند، بنابراین وجود این محدوده و تغییرات می تواند ناشی از متغیرهای ورودی و شرایط استخراج

بحث

وجود مقادیر p -value کمتر از 0.05 برای مدل رگرسیونی و بیشتر از 0.05 برای عدم برازش حاکی از معناداری و کارآیی مدل برای ویسکوزیته و دمای هیسترزیس می باشد. مقادیر موجود برای ضرایب تبیین R^2 برای هر دو متغیر، نشان از مطلوبیت آن بوده، چرا که برای داده هایی با ماهیت شیمیایی، مقدار بیشتر از $8/8$ مطلوب است (Sousa *et al.*, 2010). ضرایب تبیین تطابق یافته و پیش بینی شده برای هر متغیر، حاکی از تطابق منطقی بین این دو ضریب برای هر دو متغیر بوده و همچنین می توان به توانمندی مدل در پیش بینی مقادیر پاسخ اشاره داشت. از طرف دیگر نیز مقادیر Adequate precision که برای هر دو متغیر بالاتر از 4 بود مطلوبیت بیشتر مدل

داروسازی اتحادیه آمریکا (USP)^{۱۰} دمای تشکیل ژل آگار باید در محدوده بین $34-43^{\circ}\text{C}$ (Li *et al.*, 2008) و Orduña-Rojas *et al.*,^{۱۱} نقطه ذوب بالاتر از 85°C باشد (Orduña-Rojas *et al.*, 2008), لذا شاید بتوان میزان حداقل دمای هیسترزیس کاربردی در صنعت را 42°C دانست. تغییرات موجود در گرافهای اثرات همزمان دما و غلظت قلیا بر دمای هیسترزیس ژل را می‌توان به خاطر هیدرولیز گروه‌های سولفات دانست، چرا که پیش‌فرآوری با قلیا در دماهای بالا منجر به حذف این گروه‌ها گردیده و به تبع آن مقدار دمای هیسترزیس نیز افزایش می‌یابد (Dea & Morrison, 1975). چرا که عموماً حضور گروه‌های سولفات درون زنجیره پلیمری منجر به کاهش خصوصیات ژل می‌شود (Souza *et al.*, 2012). از طرف دیگر بر اساس مطالعات، پلی‌ساقاریدها حاوی باندهای هیدروژنی درون مولکولی می‌باشند که می‌توانند در اثر حرارت ملایم شکسته شده و منجر به تغییر ساختار گردند. لذا شاید این موضوع بتواند کاهش اولیه دمای هیسترزیس ژل آگار را توجیه نماید (Kumar & Fotedar, 2009).

مقدار هیسترزیس ژل آگار در شرایط متفاوت استخراج برای آگاروفیت‌هایی چون *Curdiea angustata* بین $48/5-51^{\circ}\text{C}$ (Gracilaria obesa) و *Curdiea obesa* بین $73-74^{\circ}\text{C}$ (Gracilaria obesa) (Falshaw *et al.*, 1998) و *Sousa et al.*,^{۱۲} *vermiculophylla* (2010) متغیر بودند. عموماً دمای هیسترزیس ژل متاثر از اختلاف نقطه ذوب و دمای تشکیل ژل می‌باشد، بر اساس مطالعات محققان صرف نظر از نوع گونه و شرایط آزمایش، همزمان با افزایش میزان متوكسیل، دمای تشکیل ژل نیز افزایش می‌یابد (Kumar & Fotedar, 2009).

دیگر وزن مولکولی نیز در نوسانات نقطه ذوب تاثیر گذار می‌باشد، چرا که کاهش وزن مولکولی از تشکیل تعاملات پایدارتر درون توالی ژل خودداری نموده که نتیجتاً کاهش نقطه ذوب را در بر دارد (Rodríguez *et al.*, 2009).

تعیین تیمار بھینه و تست تائیدی

باشد (Kumar & Fotedar, 2009). عموماً ویسکوزیته بالا از غلظت‌های قلیا و زمان استخراج بالاتر می‌تواند ناشی از حذف سولفات استر در کربن ۶ (C-6) گالاكتوز و افزایش میزان ۶,۳ انیدریت گالاكتوز باشد که در نتیجه آن، بهبود خواص ژلهای حاصل می‌شود (Fotedar, 2009 ; Arvizu-Higuera *et al.*, 2008 ; Kumar & Fotedar, 2009) پروسه ممکن است در نقاط انتهایی محدوده، عملکرد متفاوتی داشته باشد که علت آن احتمالاً تغییر در ساختار و تسریع تجزیه زنجیره پلیمری آگار منجر به این روند شده است. در گزارش Pereira-Pacheco در سال ۲۰۰۸، برای آگاروفیت *Hydropuntia cornea* تنها متغیر معنادار در ویسکوزیته آگار را زمان استخراج دانستند در صورتی که در این مطالعه زمان و دمای استخراج متغیرهای معنادار بر ویسکوزیته بودند. با توجه به شرایط آزمایش محدوده ویسکوزیته برای سایر آگاروفیت‌های *cP Gracilaria eucheumatoides* چون (Romero *et al.*, 2008) ۱-۱۴/۵ *Hydropuntia* (Pereira-Pacheco *et al.*, 2008) بین *cP* بین *cornea* و برای آگاروفیت *Gracilaria tenuistipitata* (Montano *et al.*, 1999) ۱۴ در شرایط بدون پیش‌فرآوری نیز ویسکوزیته محلول *cP* شده است. البته در این مطالعه مقایسه ویسکوزیته تا حدی مشکل می‌باشد چرا که در بعضی از گزارش‌ها، غلظت محلول آگار مشخص نبوده و یا شرایط آزمایش (شماره اسپیندال، تعداد دور در دقیقه) متفاوت بوده است. بنابراین صرف نظر از شرایط آزمایش و نوع گونه جلبکی، مطالعات نشان می‌دهد، شرایط تاثیر گذار بر وزن مولکولی بیوپلیمر نیز می‌تواند بر ویسکوزیته موثر باشد، چرا که ویسکوزیته ظاهری محلول بیوپلیمر، بازتاب وزن مولکولی و طول زنجیره مولکولی نیز می‌باشد (Romero *et al.*, 2008).

با توجه به جدول ۲ می‌توان به بالاتر بودن مقادیر دمای هیسترزیس ژل در نمونه پیش‌فرآوری نسبت به نمونه بومی (بدون پیش‌فرآوری) پی‌برد که این محدوده وسیع و متنوع دمای هیسترزیس نیز می‌تواند ناشی از تاثیر متغیرهای استخراج و شرایط آزمایش باشد (Kumar & Fotedar, 2009).

شدند. در پایان شرایط بهینه برای غلظت قلیا، دما و زمان استخراج به ترتیب مقادیر 110°C ، ۲۰۰ و ۲۰۰ دقیقه به دست آمد. مطابقت مقادیر واقعی و پیشنهادی مدل حاصل از این متغیرها با یکدیگر قابل توجه بود که در جدول ۸ نشان داده شده است. با توجه به این که مقدار Sig. مشاهده شده از سطح معنی‌داری (0.05) بزرگتر است، بنابراین تفاوت معنی‌داری بین مقدار واقعی با مقدار حاصل از پیش‌بینی مدل وجود ندارد.

به منظور بهینه‌سازی، در ابتدا برای هر متغیر و پاسخ، بیشینه و یا کمینه آن با یک ضریب اهمیتی مشخص گردید. برای متغیر غلظت قلیا به دلیل تاثیر در بهبود خواص کیفی آگار و مسائل زیست محیطی با اهمیت ۵ کمینه گردید. دما و زمان استخراج به دلیل مسائل اقتصادی و اهمیت آن در پروسه استخراج در همان محدوده آزمایش تعریف شدند. ویسکوزیته و دمای هیسترزیس ژل محصول نیز با ضریب اهمیت ۵ بیشینه

جدول ۸: مقایسه مقادیر پیش‌بینی مدل و واقعی ویسکوزیته و دمای هیسترزیس

	<i>p</i> -value	مقدار واقعی	پیش‌بینی مدل	زمان (دقیقه)	دما (سانتیگراد)	غلظت قلیا (%)
ویسکوزیته(سانتی‌پواز)	۰.۳۵۵	$۲۴/۴\pm ۰/۲۵$	۲۴/۷	۲۰۰	۱۱۰	۳/۲
هیسترزیس(سانتیگراد)	۰.۱۷۵	$۶۴/۴۴\pm ۰/۴۴$	۶۵			

Arvizu-Higuera, D.L., Rodríguez-Montesinos, Y.E., Murillo-Álvarez, J.I., Murillo-Álvarez, j., Muñoz Ochoa, M. and Hernández-Carmona, G., 2008. Effect of alkali treatment time and extraction time on agar from *Gracilaria vermiculophylla*. Journal of Applied Phycology, 20: 515-519.

Bezerra, M.A., Santelli, R.E., Oliveira, E.P., Villar, S.L. and Escaleira, L.A., 2008. Review: Response surface methodology (RSM) as a tool for optimization in analytical chemistry. Talanta, 76: 965-977.

Bixler, H.J. and Porse, H., 2011. A decade of change in the seaweed hydrocolloids industry. Journal of Applied Phycology, 23: 321-335.

Dea, I.C.M. and Morrison, A., 1975. Chemistry and interactions of seed galactomannans. Advances in

میانگین \pm اشتباہ معیار (Mean \pm Standard Error of Mean; n=3

بنابراین بر اساس نتایج حاصل از این پژوهش، ویسکوزیته و دمای هیسترزیس ژل آگار استحصلالی از آگاروفیت *Gp. persica* به مقدار وسیعی تحت شرایط متغیرهای پیش‌فرآوری و استخراج قرار دارند. بهینه‌سازی این شرایط امری حائز اهمیت بوده و روش سطح پاسخ نیز روشنی مناسب برای این مهم می‌باشد.

تشکر و قدردانی

شایسته است از مجموعه دوستان عزیز در بندر کلاهی جهت همکاری در تهیه نمونه جلبک پرورشی و کارشناس گرامی در آزمایشگاه فرآوری آبزیان دانشکده علوم دریایی، دانشگاه تربیت مدرس و همچنین مهندس یوسفی، مهندس دانشی و مهندس عبداللهی بسیار سپاسگزاری گردد.

منابع

Armisen, R., 1995. World-wide use and importance of *Gracilaria*. Journal of Applied Phycology, 7: 231-243.

- Carbohydrate Chemistry and Biochemistry, 32: 241–312.
- Dean, A. and Voss, D., 1999.** Design and Analysis of Experiments .Springer-Verlag, New York. 742p.
- Falshaw, R., Furneaux, R.H. and Stevenson, D.E., 1998.** Agars from nine species of red seaweed in the genus *Curdiea* (Gracilariaeae, Rhodophyta). Carbohydrate Research, 308: 107-115.
- Foegeding, E.A., 2007.** Rheology and sensory texture of biopolymer gels. Current Opinion in Colloid & Interface Science, 12: 242–250.
- Freile-Pelegrín, Y. and Murano, E., 2005.** Agars from three species of *Gracilaria* (Rhodophyta) from Yucatan Peninsula. Bioresource Technology, 96: 295-302.
- Freile-Pelegrín, Y. and Robledo, D., 1997b.** Influence of alkali treatment on agar from *Gracilaria cornea* from Yucatan Mexico. Journal of Applied Phycology, 9: 533-539.
- Kumar, V. and Fotedar, R., 2009.** Agar extraction process for *Gracilaria cliftonii* (Withell, Millar, & Kraft, 1994). Carbohydrate Polymers, 78: 813-819.
- Li, H., Yu, X., Jin, Y., Zhang, W. and Liu., 2008.** Development of an ecofriendly agar extraction technique from the red seaweed *Gracilaria lemaneiformis*. Bioresource Technology, 99: 3301–3305.
- Marinho-Soriano, E. and Bourret, E., 2003.** Effects of season on the yield and quality of agar from *Gracilaria* species (Gracilariaeae, Rhodophyta). Bioresource Technology, 90: 329-333.
- Mukhopadhyay, S. and Khuri, A.I., 2010.** Advanced Review: Response surface methodology, John Wiley and Sons, Inc 2: 128-149.
- Montano, N.E., Villanueva, R.D. and Romero, J.B., 1999.** Chemical characteristics and gelling properties of agar from two Philippine *Gracilaria* spp. (Gracilariales, Rhodophyta). Journal of Applied Phycology, 11: 27–34.
- Myers, R.H. and Montgomery, D.C., 2002.** Response surface methodology: process and product optimization using designed experiment. A Wiley Interscience Publication. 690p.
- Orduña-Rojas, J., Suárez-Castro, R., López-Alvaréz, E.S., Ríosmena-Rodríguez, R., Pacheco-Ruiz, I., Zertuche-González, J.A. and Meling-López, A.E., 2008a.** Agar properties of two species of Gracilariceae from the Gulf of California, Mexico. Journal of Applied Phycology, 20: 169–175.
- Orduña-Rojas, J., Suárez-Castro, R., López-Alvaréz, E. S., Ríosmena-Rodríguez, R., Pacheco-Ruiz, I., Zertuche-González J.A. and Meling-López A.E., 2008b.** Influence of alkali treatment on agar from *Gracilaria longissima* and *Gracilaria vermiculophylla* from the Gulf of California, Mexico. Ciencias Marinas, 34 (4): 503–511.
- Pereira-Pacheco, F., Robledo, D., Rodríguez-Carvajal, L. and Pelegrín, F., 2007.** Optimization of native agar extraction from *Hydropuntia cornea* from

- Yucatan, Mexico. Bioresource Technology, 98: 1278-1284.
- Prasad, K., Siddhanta, A.K., Ganesan, M., Ramavat, B.K., Jha, B. and Ghosh, P. K., 2007.** Agars of *Gelidiella acerosa* of west and southeast coasts of India. Bioresource Technology, 98: 1907–1915.
- Rodríguez, M.C., Matulewicz, M.C., Noseda, M.D., Ducatti, D.R.B. and Leonardi, P.L., 2009.** Agar from *Gracilaria gracilis* (Gracilariales, Rhodophyta) of the Patagonic coast of Argentina – Content, structure and physical properties. Bioresource Technology, 100: 1435–1441.
- Romero, J.B., Villanueva, R.D. and Montaño, M.E., 2008.** Stability of agar in the seaweed *Gracilaria eucheumatoides* (Gracilariales, Rhodophyta) during postharvest storage. Bioresource Technology, 99: 8151–8155.
- Sousa, A. M. M., Alves, V. D., Morais, S., Delerue-Matos, C. and Gonçalves, M. P., 2010.** Agar extraction from integrated multitrophic aquacultured Gracilaria vermiculophylla: Evaluation of a microwave-assisted process using response surface methodology. Bioresource Technology, 101: 3258–3267.
- Souza, H.K.S., Sousa, A.M.M., Gómezb, J. and Goncalves, M.P., 2012.** Complexation of WPI and microwave-assisted extracted agars with different physicochemical properties. Carbohydrate Polymers, 89: 1073–1080.
- Venugopal, V., 2009.** Marine Products for Healthcare: Functional and Bioactive Nutraceutical Compounds from the Ocean. CRC Press, Taylor & Francis Group, New York. 527p.
- Vergara-Rodarte, M.A., Hernández-Carmona, G., Rodríguez-Montesinos, Y.E., Arvizu-Higuera, D.L., Riosmena-Rodríguez, R. and Murillo-Álvarez, J.I., 2010.** Seasonal variation of agar from *Gracilaria vermiculophylla*, effect of alkali treatment time, and stability of its Colagar. Journal of Applied Phycology, 22: 753-759.

Assessment of extraction variables on agar gelling properties from cultural alga (*Gracilaria persica*) by RSM

Entesarian M.R.¹; Rezaei M. ^{1*}; Motamedzadegan A.²; Daryaei A.³

*Rezai_ma@modares.ac.ir

1- Department of Seafood Science and Technology, Faculty of Marine Sciences, Tarbiat Modares University, Noor

2- Department of Food Science and Technology, Sari University of Agricultural Sciences and Natural Resources, Sari

3-Islamic Azad University Bandar Abbas

Received: February 2015

Accepted: October 2015

Keywords: Agar, Viscosity, Hysteresis temperature, Response Surface Methodology,
Gracilaria persica

Abstract

In this present, response surface methodology was used to investigate the procedure of agar gelling properties from *Gracilaria persica* agarophyte and optimization them formulation. Base on result, three independent variables - alkalinity concentration (2-8%), extraction temperature (90-120°C) and extraction time (45-240 minutes) - in five levels on viscosity and hysteresis temperature were determined that effects of extraction time and temperature on viscosity and hysteresis temperature were significant ($p<0.05$). optimum conditions based on the highest viscosity and hysteresis temperature to be for alkalinity concentration, temperature and time extraction 3.2%, 110 °C and 200 minutes, respectively. predicted value were earned 24.7 cP and 65 °C for viscosity and hysteresis temperature, respectively, that were very close to the predicted data and were not statistically different ($p>0.05$).

* Corresponding author